

# 振动核区的 $g$ 玻色子自由度\*

狄尧民

(徐州师范学院物理系, 221009)

## 摘 要

本文从能谱和跃迁几率诸方面讨论了振动核区的  $g$  玻色子自由度的问题, 并给出了  $M1$  跃迁和  $E2$  跃迁的一些解析表达式。初步研究表明, 探索振动核区的  $g$  玻色子自由度是有意义的。

## 一、引 言

微观和唯象的研究均表明: 用相互作用玻色子模型 (IBM) 来描述偶核核在许多情况下引入  $g$  玻色子是必要的。对于  $sdg$  玻色子模型虽然有了不少研究<sup>[1-8]</sup>, 但至今主要集中在大形变区。对于其它核区也有一些研究, 例如  $^{218}\text{Ra}$  是带有振动特性的核素, J. Dukelsky 等人对其转晕带谱等性质的分析<sup>[9]</sup>提供了该核素可能存在  $g$  玻色子自由度的一些依据。但是总的说来对非大形变区的研究还是很不够的。

我们在文献<sup>[9]</sup>(下称文 I) 中讨论了  $sdg$  玻色子模型 ( $U(15)$  理论) 与传统的 IBM ( $U(6)$  理论) 的对应问题, 并指出该模型的振动极限与如下群链相应

$$U(15) \supset U(1) \otimes U(5) \otimes U(9) \supset SO(5) \otimes SO(9) \supset SO'(3) \otimes SO''(3) \supset SO(3).$$

本文拟从这一极限情形出发, 从能谱和电磁跃迁几率诸方面来讨论振动核区的  $g$  玻色子自由度问题。

## 二、能 谱

关于  $sdg$  玻色子模型振动极限的能谱, 文 I 中已经作了一些讨论。本文在这里作一简单的回顾和进一步讨论。

在这一极限情形下, 系统的态可标记为

$$|[N]n_d v_1 \delta_1 L_1 \otimes n_g v_2 \delta_2 L_2; LM\rangle, \quad (1)$$

能谱公式为

$$\begin{aligned} E(n_d v_1 L_1, n_g v_2 L_2; L) \\ = \varepsilon_d n_d + \alpha_1 n_d (n_d - 1) + \beta_1 [v_1 (v_1 + 3) - 4n_d] + \gamma_1 [L_1 (L_1 + 1) - 6n_d] \\ + \varepsilon_g n_g + \alpha_2 n_g (n_g - 1) + \beta_2 [v_2 (v_2 + 7) - 8n_g] \end{aligned}$$

本文 1990 年 7 月 17 日收到。

\* 江苏省教委自然科学基金资助项目。

$$+ \gamma_2[L_2(L_2 + 1) - 20n_g] + \gamma[L(L + 1) - 6n_d - 20n_g], \quad (2)$$

以上二式中符号的意义均与文 I 中的相同。

为了讨论方便起见,我们将态分为  $\Sigma, \Gamma, \Gamma'$  等态:

$\Sigma$  态: 完全由  $s, d$  玻色子组成的态;

$\Gamma$  态: 由一个  $g$  玻色子和  $N - 1$  个  $s, d$  玻色子组成的态;

$\Gamma'$  态: 由两个  $g$  玻色子和  $N - 2$  个  $s, d$  玻色子组成的态。我们还可以将这些态进一步分成  $\Sigma_0, \Sigma_1, \Sigma_2, \Gamma_0, \Gamma_1$  和  $\Gamma'_0$  等态,其中下标表示态中所包含的  $d$  玻色子数。

我们在文 I 中考察了核素  $^{204}\text{Pb}(N = 2)$  的能谱。除实验谱中缺少  $\Gamma'_0$  态中的一个  $8^+$  态外,其余理论和实验符合得很好。计算中用到的  $d, g$  玻色子单体能量分别为  $0.899 \text{ MeV}$  和  $1.27 \text{ MeV}$ 。

随着玻色子数  $N$  的增加,相应的态也急剧地增加。实验上观测到的态只是其中的一部分,除  $\Sigma$  态外,我们期望能发现的态主要有:

(1)  $\Gamma_0$  态: 即单  $g$  玻色子态。显然该态的存在与否对振动核区是否存在  $g$  玻色子自由度是至关重要的。文 I 中曾对典型的振动核  $^{104}\text{Pd}$  的能谱进行了分析,  $\Gamma_0$  态可能在  $2 \text{ MeV}$  左右。另外,据文献<sup>[7]</sup>报道,由  $^{110}\text{Pd}$  的电子散射实验已确定激发能为  $1.934 \text{ MeV}$  的  $4^+$  态主要由一个耦合成角动量为 4 的核子对构成,也就是说主要是单  $g$  玻色子构成。因此,可以认为在  $A = 110$  附近,  $g$  玻色子的单体能量为  $2 \text{ MeV}$  左右甚至更高些。

(2)  $\Gamma$  态中两个比较规则的带,即文 I 中已讨论过的  $H$  带和  $H'$  带

$$\begin{aligned} H \text{ 带} & \quad |[N]d^{n_d}, L_d = 2n_d; g; L = 2n_d + 4, M\rangle, \\ H' \text{ 带} & \quad |[N]p^{n_d}, L_d = 2n_d; g; L = 2n_d + 3, M\rangle, \end{aligned} \quad (3)$$

除  $\Gamma_0$  态( $H$  带带首)外,我们最期望能发现的是  $H$  带中的  $6^+$  态和  $H'$  带带首  $5^+$  态。

### 三、 $M1$ 跃迁

电磁跃迁几率对波函数很敏感,因此跃迁几率是对核模型检验的重要方面。我们先讨论  $M1$  跃迁。

我们通常采用一体算符为跃迁算符。但在  $U(6)$  理论中,如用一体算符来构筑  $M1$  跃迁算符,则该算符与角动量算符成正比,它仅对各态的磁矩有贡献而对跃迁无贡献。故对于  $M1$  跃迁,我们需要用到两体算符。在  $U(15)$  理论中,如采用一体算符则有如下形式:

$$T_1(M1)_m = m_1(d^+\tilde{d})_m^{(1)} + m_2(g^+\tilde{g})_m^{(1)}, \quad (4)$$

上式中两项分别与  $d, g$  玻色子的角动量算符成正比。在振动极限情形下,  $d, g$  玻色子的角动量量子数  $L_1, L_2$  分别是好的量子数,故在这一极限情形下,  $T_1(M1)$  对跃迁仍无贡献。故  $U(15)$  理论中,我们仍要用到两体算符。

在  $U(6)$  理论中,  $M1$  跃迁算符通常采用如下形式:

$$T_d(M1)_m = m_1(d^+\tilde{d})_m^{(1)} + m_2[Q^{(2)} \otimes (d^+\tilde{d})^{(1)}]_m^{(1)}, \quad (5)$$

其中

$$Q_m^{(2)} = (d^+\tilde{s} + s^+\tilde{d})_m^{(2)} + q(d^+\tilde{d})_m^{(2)}$$

在振动极限中,通常取  $q = 0$ 。因此,在  $U(15)$  理论振动极限情形下,我们对(5)式的自

然推广为

$$\begin{aligned} \tilde{T}(M1)_m = & m_1(d^+\tilde{d})_m^{(1)} + m_2(g^+\tilde{g})_m^{(1)} \\ & + m_3[(d^+\tilde{s} + s^+\tilde{d})^{(2)} \cdot (d^+\tilde{d})_m^{(1)}]^{(1)} \\ & + m_4[(d^+\tilde{s} + s^+\tilde{d})^{(2)} \cdot (g^+\tilde{g})_m^{(1)}]^{(1)} \\ & + \tilde{m}_5[(g^+\tilde{d} + d^+\tilde{g})^{(2)} \cdot (d^+\tilde{d})_m^{(1)}]^{(1)} \\ & + \tilde{m}_6[(g^+\tilde{d} + d^+\tilde{g})^{(2)} \cdot (g^+\tilde{g})_m^{(1)}]^{(1)}, \end{aligned} \quad (6)$$

上式中第一、二项分别为 d、g 玻色子对磁矩的贡献。第三项对  $\Sigma$  态之间的跃迁有贡献，原则上说，它对一些  $\Gamma$  态之间的跃迁也有贡献，但对我们关心的一些跃迁，例如  $H$ 、 $H'$  带内的跃迁没有贡献。第四项对  $\Gamma$  态之间的跃迁有贡献。至于第五、六项，他们虽对一些  $\Gamma$  态和  $\Sigma$  态之间的跃迁有贡献，但对我们最关心的跃迁，例如  $H$  带到基带的跃迁没有贡献。因此，对于这两项我们可以不予考虑。为了描述我们关心的  $\Gamma$  态到  $\Sigma$  态之间的  $M1$  跃迁，我们引入如下算符

$$T'(M1)_m = m_5[(d^+d^+)^{(0)}(\tilde{s}\tilde{g})^{(0)}]_m^{(1)} + h \cdot c, \quad (7)$$

该算符的物理意义是有关跃迁是由一个 g 玻色子和一个 s 玻色子转变成两个 d 玻色子引起的。鉴于上述考虑，我们选取如下形式的算符为  $U(15)$  理论振动极限的  $M1$  跃迁算符

$$\begin{aligned} T(M1)_m = & m_1(d^+\tilde{d})_m^{(1)} + m_2(g^+\tilde{g})_m^{(1)} + m_3[(d^+\tilde{s} + s^+\tilde{d})^{(2)} \cdot (d^+\tilde{d})_m^{(1)}]^{(1)} \\ & + m_4[(d^+\tilde{s} + s^+\tilde{d})^{(2)} \cdot (g^+\tilde{g})_m^{(1)}]^{(1)} + m_5[(d^+d^+)^{(0)} \\ & \cdot (\tilde{s}\tilde{g})^{(0)}]_m^{(1)} + h \cdot c. \end{aligned} \quad (8)$$

由上式的结构可以看出  $\Sigma$  态之间的跃迁与  $U(6)$  理论相同。现我们先考虑  $\Gamma$  态之间的跃迁，设

$$\begin{aligned} |I_i\rangle &= |[N]n'_d\chi L'_d, g; L'M'\rangle, \\ |I_f\rangle &= |[N]n_d\chi L_d, g; LM\rangle, \end{aligned} \quad (9)$$

则跃迁矩阵元为

$$\begin{aligned} \langle I_f || T(M1) || I_i \rangle = & 3 \cdot m_4 \sqrt{(2L+1)(2L'+1)} \\ & \times \begin{Bmatrix} L'_d & 4 & L' \\ 2 & 1 & 1 \\ L_d & 4 & L \end{Bmatrix} \cdot \langle \tilde{I}_f || (d^+\tilde{s} + s^+\tilde{d}) || \tilde{I}_i \rangle, \end{aligned} \quad (10)$$

其中

$$\begin{aligned} |\tilde{I}_i\rangle &= |[N-1]n'_d\chi L'_d M'_d\rangle, \\ |\tilde{I}_f\rangle &= |[N-1]n_d\chi L_d M_d\rangle, \end{aligned} \quad (11)$$

对于  $H'$  带到  $H$  带的跃迁，则有

$$\begin{aligned} \langle I_f || T(M1) || I_i \rangle &= 3m_4 \sqrt{(2L_d+9)(2L_d+1)(N-1-L_d/2)(L_d/2+1)(2L_d+5)} \\ & \cdot \begin{Bmatrix} L_d+2 & 4 & L_d+5 \\ 2 & 1 & 1 \\ L_d & 4 & L_d+4 \end{Bmatrix}, \end{aligned} \quad (12)$$

其中  $L_d = 2n_d = L - 4$ . 进一步计算可得

$$\langle I_f \| T(M1) \| I_i \rangle = -\frac{1}{5} m_4 \left( \frac{(2L_d + 1)(2L_d + 12)(N - 1 - L_d/2)}{2(2L_d + 3)} \right)^{1/2}, \quad (13)$$

跃迁几率为

$$\begin{aligned} H' \rightarrow H \quad B(M1 L' = 2n_d + 5 \rightarrow L = 2n_d + 4) \\ = \frac{1}{25} m_4^2 \frac{2n_d + 6}{4n_d + 3} (N - 1 - n_d). \end{aligned} \quad (14)$$

现在我们转而讨论  $\Gamma_{n_d}$  态到  $\Sigma_{n_d+2}$  态之间的跃迁, 这时其初态末态分别为

$$\begin{aligned} |I_i\rangle &= |[N]n_d \chi L'_d, g; L' M'\rangle, \\ |I_f\rangle &= |[N]n_d + 2 \chi L_d, g; L M\rangle, \end{aligned} \quad (15)$$

则跃迁矩阵元为

$$\begin{aligned} \langle I_f \| T(M1) \| I_i \rangle &= \sqrt{3} \cdot m_5 \cdot (-1)^{L+L'+1} \\ &\cdot \begin{Bmatrix} L & 1 & L' \\ 4 & L'_d & 4 \end{Bmatrix} \cdot \langle I_f \| (d^+ d^+)^{(4)} \| I_m \rangle \langle I_m \| (\tilde{s}\tilde{g})^{(4)} \| I_i \rangle, \end{aligned} \quad (16)$$

其中

$$|I_m\rangle = |[N - 2]n_d \chi L'_d, 0; L'_d M_d\rangle$$

另有

$$\langle I_m \| (\tilde{s}\tilde{g})^{(4)} \| I_i \rangle = (-1)^{L'+L'_d} \sqrt{(N - 1 - n_d)(2L' + 1)}, \quad (17)$$

$$\begin{aligned} \langle I_f \| (d^+ d^+)^{(4)} \| I_m \rangle &= \langle n_d + 2, \chi, L \| (d^+ d^+)^{(4)} \| n_d \chi L'_d \rangle \\ &= \sqrt{(n_d + 2)(n_d + 1)(2L + 1)^{1/2}} [d^+ d \chi L'_d, d^2(4) |] d^{n_d+2} \chi L, \end{aligned} \quad (18)$$

其中  $[d^+ d \chi L'_d, d^2(I) |] d^{n_d+2} \chi L$  为 d 玻色子双粒子母分系数. 对于 H 带到基带 ( $Y_0$  带) 的跃迁, 进一步计算可得

$$\langle I_f \| T(M1) \| I_i \rangle = \sqrt{\frac{2}{15}} m_5 \sqrt{(N - 1 - n_d)(n_d + 1)(4n_d + 9)(2n_d + 5)}, \quad (19)$$

$$\begin{aligned} H \rightarrow Y_0 \quad B(M1 L' = 2n_d + 4 \rightarrow L = 2n_d + 4) \\ = \frac{2}{15} m_5^2 (N - 1 - n_d)(n_d + 1)(2n_d + 5), \end{aligned} \quad (20)$$

对于  $H'$  带到  $Y_0$  带的跃迁, 我们可得

$$\langle I_f \| T(M1) \| I_i \rangle = -\sqrt{\frac{1}{15}} m_5 \sqrt{(N - 1 - n_d)(n_d + 1)(4n_d + 9)n_d}, \quad (21)$$

$$\begin{aligned} H' \rightarrow Y_0 \quad B(M1 L' = 2n_d + 3 \rightarrow L = 2n_d + 4) \\ = \frac{1}{15} m_5^2 \frac{(N - 1 - n_d)(n_d + 1)(4n_d + 9)n_d}{4n_d + 7}. \end{aligned} \quad (22)$$

#### 四、E2 跃迁

现在我们转而讨论 E2 跃迁. 如仅用一体算符,  $U(15)$  理论的 E2 跃迁算符可以写成如下形式

$$\tilde{T}(E2)_m = q_1(s^+\tilde{d} + d^+\tilde{s})_m^{(2)} + \tilde{q}_1(d^+\tilde{d})_m^{(2)} + q_2(d^+\tilde{g} + g^+\tilde{d})_m^{(2)} + \tilde{q}_2(g^+\tilde{g})_m^{(2)}, \quad (23)$$

在振动极限情形, 常取  $\tilde{q}_1 = \tilde{q}_2 = 0$ . 上节我们讨论  $M1$  跃迁时, 我们看到  $\Gamma_{n_d}$  态到  $\Sigma_{n_d+2}$  态之间存在着跃迁, 而  $M1$  跃迁常伴有  $E2$  跃迁. 为了描述  $\Gamma_{n_d}$  态  $\Sigma_{n_d+2}$  态之间的  $E2$  跃迁, 我们引入如下算符

$$T'(E2)_m = q_3[(d^+d^+)^{(4)}(\tilde{s}\tilde{q})^{(4)}]^{(2)} + h \cdot c + q_4[(d^+d^+)^{(2)}(\tilde{s}\tilde{g})^{(4)}]^{(2)} + h \cdot c, \quad (24)$$

鉴于上述考虑, 我们选取如下形式的算符为  $U(15)$  理论振动极限  $E2$  跃迁算符

$$T(E2)_m = q_1(s^+\tilde{d} + d^+\tilde{s})_m^{(2)} + q_2(d^+\tilde{g} + g^+\tilde{d})_m^{(2)} + q_3[(d^+d^+)^{(4)}(\tilde{s}\tilde{g})^{(4)}]^{(2)} + h \cdot c \\ + q_4[(d^+d^+)^{(2)}(\tilde{s}\tilde{g})^{(4)}]^{(2)} + h \cdot c. \quad (25)$$

从上式结构可以看出,  $\Sigma$  态之间的跃迁与  $U(6)$  理论相同. 现在我们讨论  $\Gamma$  态之间的跃迁, 这时初态和末态由(9)式给出, 跃迁矩阵元为

$$\langle I_f || T(E2) || I_i \rangle = (-1)^{L'+L_d} \sqrt{(2L+1)(2L'+1)} \\ \times \left\{ \begin{matrix} L_d & 2 & L'_d \\ L' & 4 & L \end{matrix} \right\} \langle \tilde{I}_f || (s^+\tilde{d} + d^+\tilde{s}) || \tilde{I}_i \rangle q_1, \quad (26)$$

其中  $|\tilde{I}_i\rangle, |\tilde{I}_f\rangle$  与(10)式中的相同. 经进一步计算可得  $H, H'$  带的带内跃迁为

$$H \text{ 带} \quad B(E2 \ L' = 2n_d + 6 \rightarrow L = 2n_d + 4) = q_1^2(N-1-n_d)(n_d+1), \quad (27)$$

$$H' \text{ 带} \quad B(E2 \ L' = 2n_d + 5 \rightarrow L = 2n_d + 3) = q_1^2 \frac{n_d(n_d+3)}{n_d+2} (N-n_d-1), \quad (28)$$

对于  $H'$  到  $H$  的带间跃迁, 我们有

$$\langle I_f || T(E2) || I_i \rangle = 2 \left( \frac{(2L_d+11)(N-1-L_d/2)}{L_d+4} \right)^{1/2} q_1, \quad (29)$$

$$H' \rightarrow H \quad B(E2 \ L' = 2n_d + 5 \rightarrow L = 2n_d + 4) \\ = q_1^2 \frac{2}{n_d+2} (N-n_d-1), \quad (30)$$

则  $E2, M1$  的混合比<sup>[10]</sup>为

$$\delta = \frac{\langle I_f || E2 || I_i \rangle}{\langle I_f || M1 || I_i \rangle} = 0.835 E_\gamma (\text{MeV}) \frac{\langle I_f || T(E2) || I_i \rangle}{\langle I_f || T(M1) || I_i \rangle} \\ = -0.835 E_\gamma (\text{MeV}) \frac{5q_1}{m_4} \left( \frac{4n_d+3}{(n_d+2)(n_d+3)} \right)^{1/2}, \quad (31)$$

其中  $E_\gamma$  为  $\gamma$  射线强度. 此外我们还能得到一些约化跃迁几率之比, 特别重要的是

$$\frac{B(E2 \ H \text{ 带内: } 6^+ \rightarrow 4^+)}{B(E2 \ 2_1^+ \rightarrow 0_1^+)} = \frac{N-1}{N}. \quad (32)$$

下面我们讨论  $\Gamma_{n_d}$  态与  $\Sigma_{n_d+1}$  态之间的跃迁, 这时初态和末态分别为

$$|I_i\rangle = |[N]n_d \chi' L'_d, g; L'\rangle \\ |I_f\rangle = |[N]n_d + 1 \chi L, 0; L\rangle, \quad (33)$$

则跃迁矩阵元为

$$\langle I_f || T(E2) || I_i \rangle = q_2 \cdot (-1)^{L+L'} \sqrt{5(2L'+1)}$$

$$\cdot \left\{ \begin{matrix} L' & L' & 4 \\ 2 & 2 & L \end{matrix} \right\} \cdot \langle n_d + 1 \chi L \| d^+ \| n_d \chi' L'_d \rangle, \quad (34)$$

进一步计算可得到  $H$  和  $H'$  带到基带的跃迁几率表达式

$$H \rightarrow Y_0 \quad B(E2 \quad L' = 2n_d + 4 \rightarrow L = 2n_d + 2) = \frac{5}{18} q_2^2 L, \quad (35)$$

$$H' \rightarrow Y_0 \quad B(E2 \quad L' = 2n_d + 3 \rightarrow L = 2n_d + 2) = \frac{5}{36} q_2^2 L, \quad (36)$$

这里我们可以得到一个非常有趣的结论,  $H$  带到基带的跃迁几率是  $H'$  带到基带的两倍.

最后我们讨论  $\Gamma_{n_d}$  态到  $\Sigma_{n_d+2}$  态之间的跃迁, 这时其初态和末态由(15)式给出, 经过计算其跃迁矩阵元为

$$\begin{aligned} \langle I_f \| T(E2) \| I_i \rangle &= \sqrt{5} (-1)^{L+L'_d} \\ &\times \sqrt{(n_d + 2)(n_d + 1)(N - 1 - n_d)(2L + 1)(2L' + 1)} \\ &\cdot \left( q_3 \left\{ \begin{matrix} L & 2 & L' \\ 4 & L'_d & 4 \end{matrix} \right\} \cdot [d^{n_d} \chi' L'_d, d^2(4) |] d^{n_d+2} \chi L \right] \\ &+ q_4 \left\{ \begin{matrix} L & 2 & L' \\ 4 & L'_d & 2 \end{matrix} \right\} \cdot [d^{n_d} \chi' L'_d, d^2(2) |] d^{n_d+2} \chi L \Big), \end{aligned} \quad (37)$$

对于  $H$  带到基带的跃迁

$$\begin{aligned} \langle I_f \| T(E2) \| I_i \rangle &= \frac{1}{3} \sqrt{\frac{14}{11}} \\ &\cdot q_3 \sqrt{\frac{(N - 1 - n_d)(n_d + 1)(4n_d + 9)(2n_d + 5)(4n_d + 11)}{(4n_d + 7)}}, \end{aligned} \quad (38)$$

$$\begin{aligned} H \rightarrow Y_0 \quad B(E2 \quad L' = 2n_d + 4 \rightarrow L = 2n_d + 4) \\ = \frac{14}{99} q_3^2 \frac{(N - 1 - n_d)(n_d + 1)(2n_d + 5)(4n_d + 11)}{(4n_d + 7)}, \end{aligned} \quad (39)$$

$$\delta = 0.835 E_r(\text{MeV}) \cdot \sqrt{\frac{35}{33}} \frac{q_3}{m_5} \sqrt{\frac{4n_d + 11}{4n_d + 7}}, \quad (40)$$

对于  $H'$  带到基带的跃迁

$$\langle I_f \| T(E2) \| I_i \rangle = - \sqrt{\frac{7}{33}} q_3 \sqrt{\frac{(N - 1 - n_d)(n_d + 1)(4n_d + 9)(2n_d + 5)n_d}{(2n_d + 3)}}, \quad (41)$$

$$\begin{aligned} H' \rightarrow Y_0 \quad B(E2 \quad L' = 2n_d + 3 \rightarrow L = 2n_d + 4) \\ = \frac{7}{33} q_3^2 \frac{(N - 1 - n_d)(n_d + 1)(4n_d + 9)(2n_d + 5)n_d}{(2n_d + 3)(4n_d + 7)}, \end{aligned} \quad (42)$$

$$\delta = 0.835 E_r(\text{MeV}) \sqrt{\frac{35}{11}} \frac{q_3}{m_5} \sqrt{\frac{(2n_d + 5)}{(2n_d + 3)}}, \quad (43)$$

## 五、与实验比较

我们已在第二节中指出：除了 $\Sigma$ 态外，我们最期望能找到的是 $H$ 带中的 $4^+$ 、 $6^+$ 态和 $H'$ 带中的 $5^+$ 态。我们把它们记作 $4^+_{\Gamma}$ 、 $5^+_{\Gamma}$ 和 $6^+_{\Gamma}$ 态。与这三态有关的跃迁见图2所示。为了清楚起见，我们把 $\Gamma$ 态的能级画得略高一些。

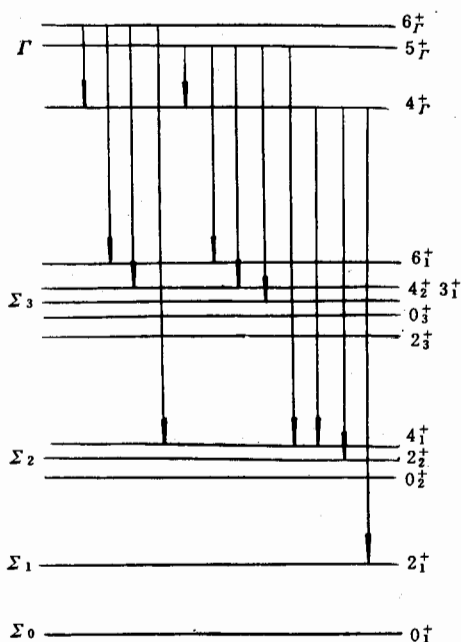


图1 与 $4^+_{\Gamma}$ 、 $5^+_{\Gamma}$ 和 $6^+_{\Gamma}$ 有关的 $\gamma$ 跃迁

表1中给出了与上述有关跃迁的跃迁几率和 $E2$ 、 $M1$ 混合比(用 $\delta' = \delta/0.835 E_r$  (MeV)来表示)。

与实验数据进行较全面的比较尚存在着一定的困难,主要是实验数据不足。但是从能谱和 $\gamma$ 射线的强度 $I_r$ 等数据的分析,还是可以得到一些有益的结论。 $I_r$ 与跃迁分支比之间的关系为

$$\frac{I_{r1}}{I_{r2}} = \frac{B(\alpha L I_i \rightarrow I_{f1})}{B(\alpha L I_i \rightarrow I_{f2})} \left( \frac{E_{r1}}{E_{r2}} \right)^{2L+1}$$

$^{113}\text{Cd}$ 为典型的振动核。根据有关实验数据<sup>[11]</sup>的分析得出的理论谱和实验谱的比较如图3所示。我们将2.561MeV的 $4^+$ 态定为 $4^+_{\Gamma}$ 态而没有把它当作 $\Sigma_4$ 中的 $4^+$ 态,这主要是它存在着与图2中相应的各种跃迁而未发现与 $\Sigma_3$ 中的态有较强的跃迁。将 $6^+_{\Gamma}$ 态定为 $6^+_{\Gamma}$ 态是因为它存在着相应的各种跃迁特别是与 $4^+_{\Gamma}$ 态之间有较强的跃迁。 $5^+_{\Gamma}$ 态被定为 $\Sigma_4$ 中的态而不是 $5^+_{\Gamma}$ 态是由于它与 $\Sigma_3$ 中的态有较强的跃迁而未发现与 $4^+_{\Gamma}$ 态之间有跃迁。 $I_r$ 的数据与理论估计可以吻合。如能测得 $4^+_{\Gamma}$ 和 $4^+_{\Sigma_4}$ 之间跃迁的 $E2$ 、 $M1$ 混合比 $\delta$ ,即可进行定量的分析。

鉴于与转动核相比,我们对振动核了解得较少。本文的讨论有助于我们加深对振动

表 1 与  $\Gamma$  态有关的跃迁的跃迁几率和混合比

$I_i$	$I_f$	$B(E2 I_i \rightarrow I_f)$	$B(M1 I_i \rightarrow I_f)$	$\delta' = \delta/0.835E_\gamma(\text{MeV})$
$4_1^+$	$2_1^+$	$5q_3^2/9$	—	—
	$4_1^+$	$10q_3^2(N-1)/9$	$2m_3^2(N-1)/3$	$\sqrt{\frac{5}{3}} q_3/m_3$
	$2_2^+$	$2q_3^2(N-1)^*$	—	—
$5_1^+$	$4_1^+$	$5q_3^2/9$	—	—
	$6_1^+$	$1274q_3^2(N-2)/1815$	$26m_3^2(N-2)/165$	$7\sqrt{\frac{1}{11}} q_3/m_3$
	$4_2^+$	$\frac{3}{7} \left( \frac{19}{11} q_3 - \frac{1}{3} \sqrt{\frac{55}{2}} q_4 \right)^2 (N-2)^*$	$6m_3^2(N-2)/55^{**}$	$\left( 19\sqrt{\frac{5}{154}} q_3 - \frac{55}{6} \sqrt{\frac{1}{7}} q_4 \right) / m_3$
	$3_1^+$	$\frac{1}{7} \left( 3\sqrt{\frac{1}{55}} q_3 - 5\sqrt{\frac{1}{2}} q_4 \right)^2 (N-2)^*$	—	—
	$4_2^+$	$q_3^2(N-1)$	$2m_3^2(N-1)/25$	$-\frac{5}{2} \sqrt{2} q_4/m_4$
$6_1^+$	$4_1^+$	$10q_3^2/9$	—	—
	$6_1^+$	$980q_3^2(N-2)/363$	$28m_3^2(N-2)/15$	$\sqrt{\frac{175}{121}} q_3/m_3$
	$4_2^+$	$\frac{3}{7} \left( \frac{4}{11} q_3 + \frac{1}{3} \sqrt{110} q_4 \right)^2 (N-2)^*$	—	—
	$4_2^+$	$q_3^2(N-1)$	—	—

\* 根据(37)式进一步计算而得出的结果.

\*\* 根据(16)式进一步计算而得出的结果.

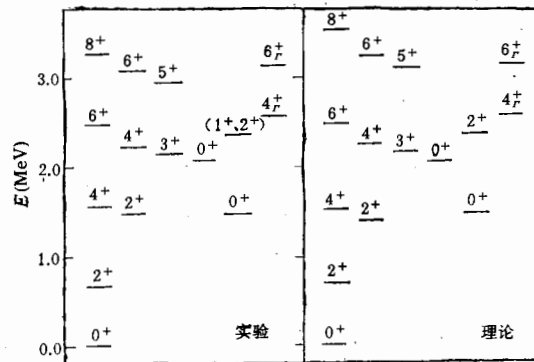


图 2  $^{110}\text{Cd}$  的  $\Sigma$  态和  $\Gamma$  态

理论谱采用的参数为  $\varepsilon_d = 700\text{keV}$ ,  $\alpha = 38\text{keV}$ ,  $\beta = -15\text{keV}$ ,  $\gamma = 10\text{keV}$ ,  $\varepsilon_g = 2561\text{keV}$ ,  $C'_0 = -140\text{keV}$ ,  $C'_0$  的意义见文献[8]



核区低集体激发态的理解。

作者感谢周孝谦教授、孙洪洲教授和吴华川教授的有益讨论。

### 参 考 文 献

- [1] H. C. Wu, *Phys. Lett.*, **110B**(1982),1.
- [2] H. D. Ratan Raju, *Phys. Rev.*, **C23**(1981),518.
- [3] 凌寅生,高能物理与核物理,**6**(1982),77.
- [4] 顾金南、凌寅生、高元义,高能物理与核物理,**6**(1982),453.
- [5] H.Z. Sun and M. Moshinsky, *Kinam*, **5**(1983),135.
- [6] X. Q. Zhou and H.C. Wu, *Nucl. Phys.*, **A421**(1984),159.
- [7] 吴华川,安徽大学学报(自)(第二次全国核结构会议专集),**13**(1989),27.
- [8] 狄尧民,原子核物理,**10**(1988),203.
- [9] J. Dukelsky et al., *Phys. Rev.*, **C23**(1983),2180.
- [10] K. S. Krane, *Atomic Data and Nucl. Data Table*, **16**(1975),383.
- [11] P. De Gelder et al., *Nucl. Data Sheets*, **38**(1983),545.

## **g-Boson Degree of Freedom in Vibrational Regions**

DI YAOMIN

(Xuzhou Teachers' College, 221009)

### ABSTRACT

The g-boson degree of freedom in the vibrational regions is discussed in term of the energies and the electromagnetic transitions. Several closed expressions for the rates of  $M1$ ,  $E2$  transitions and the  $E2$ ,  $M1$  mixing ratios are obtained. Some survey is made and it reveals it is meaningful to investigate the g-boson degree of freedom in those regions.